

文章编号: 1004-0609(2003)01-0271-05

铝酸钠和含硅铝酸钠溶液的红外光谱和拉曼光谱^①

王雅静^{1, 2}, 翟玉春¹, 田彦文¹, 韩跃新¹, 刘连利¹, 姬生利²

(1. 东北大学 材料冶金学院, 沈阳 110004; 2. 沈阳化工学院 应用化学系, 沈阳 110142)

摘要: 应用红外光谱和拉曼光谱系统地研究了苛性比 $a_k = 1.55$, Al_2O_3 含量分别为 100 g/L, 150 g/L 和 200 g/L 的铝酸钠溶液和含硅铝酸钠溶液。结果表明: 溶液中存在 $\text{Al}-\text{O}-\text{Al}$ 键, 且随着 Al_2O_3 含量增加而增多; SiO_2 的存在使得铝酸钠溶液中 $\text{Al}-\text{O}-\text{Al}$ 键转化为 $\text{Al}-\text{O}-\text{Si}$ 键, 随着 SiO_2 含量增加, $\text{Al}-\text{O}-\text{Si}$ 键增多。这表明 $\text{Al}-\text{O}-\text{Si}$ 键比 $\text{Al}-\text{O}-\text{Al}$ 键更稳定。因此, 含硅铝酸钠溶液是由 $\text{Al}-\text{O}-\text{Al}$, $\text{Al}-\text{O}-\text{Si}$, $\text{Si}-\text{O}-\text{Si}$ 键和 $\text{Al}-\text{O}-\text{H} \cdots \text{O}-\text{Al}$ 氢键结合的成网络状无机高分子溶液, 而不是过饱和的 Al_2O_3 溶液。这是铝酸钠溶液稳定的原因。

关键词: 铝酸钠溶液; 含硅铝酸钠溶液; 红外光谱; 拉曼光谱**中图分类号:** TF 801**文献标识码:** A

含硅铝酸钠溶液脱硅是氧化铝生产过程中必不可少的工序^[1]并且日趋由高温高压低氧化铝浓度向常温常压高氧化铝浓度发展^[2]。研究含硅铝酸钠溶液的物理化学性质和结构, 对于发展氧化铝生产的基本理论具有重要意义^[3, 4], 对于含硅铝酸钠溶液的脱硅有着重要的指导作用^[5]。前苏联学者曾用拉曼光谱和红外光谱研究了含 Na_2O 超过 240 g/L, 含 SiO_2 10 g/L 的铝酸钠溶液的结构^[6], 柳妙修等^[7]研究了苛性比 a_k 等于 2 左右、 Al_2O_3 的含量为 120 g/L 左右的含硅铝酸钠溶液中 SiO_2 的存在形式。但对于现今氧化铝生产有实际应用的 $a_k = 1.55$ 左右、 Na_2O 的含量低于 200 g/L 的含硅铝酸钠溶液还缺乏系统的研究。我们用红外光谱和拉曼光谱研究 $a_k = 1.55$, Na_2O 含量低于 200 g/L, Al_2O_3 的含量为 100, 150 和 200 g/L 的含硅铝酸钠溶液的结构, 以及 SiO_2 对铝酸钠溶液结构的影响。

1 实验

先配制出苛性比 $a_k = 1.55$ 的 $\rho(\text{Al}_2\text{O}_3) = 350$ g/L 的高含量铝酸钠溶液, 再稀释成所需要的各种浓度的铝酸钠溶液。将分析纯硅酸钠溶于各种不同浓度的铝酸钠溶液中, 配成硅铝酸钠溶液。

SiO_2 的含量用硅钼蓝比色法测定, Al_2O_3 和 Na_2O 的含量用滴定法测定。

用 470-FR-IRESP 红外光谱仪测定溶液的红外

光谱。

用英国 RM 1000 型激光共聚焦拉曼光谱仪测定溶液的拉曼光谱。拉曼光谱仪空间分辨率 1 μm , 谱线波长 514.5 nm, 激光功率 4.2 mW, 光谱分辨率 4 cm^{-1} 。

2 结果与讨论

2.1 红外光谱

图 1 所示是苛性比 $a_k = 1.55$, Al_2O_3 的含量为 100 g/L 铝酸钠溶液的红外光谱图。图中曲线 I 所示是不含 SiO_2 的纯铝酸钠溶液的红外光谱, 曲线 II, III, IV 所示是含 SiO_2 分别为 0.96 g/L, 2.01 g/L, 2.82 g/L 铝酸钠溶液的红外光谱。曲线 I 出现的谱峰中, 870 cm^{-1} 是 $\text{Al}-\text{OH}$ 弯曲振动带, 725 cm^{-1} 为 $\text{Al}-\text{OH}$ 的反对称弯曲振动带, 635 cm^{-1} 是 $\text{Al}-\text{OH}$ 伸缩振动带, 528 cm^{-1} 是 $\text{Al}-\text{O}-\text{Al}$ 振动带^[8-10]。表明 $\text{Al}-\text{O}-\text{Al}$ 键相对于 $\text{Al}-\text{OH}$ 键来说很少。随着 SiO_2 含量增加 870 cm^{-1} , 725 cm^{-1} , 和 635 cm^{-1} 各峰变化不大, 而 528 cm^{-1} 振动带逐渐加强, 而且向波数增加的方向移动。这是由于随着 SiO_2 的加入 $\text{Al}-\text{O}-\text{Si}$ 键形成, 并随着 SiO_2 的增加而增加, 而 $\text{Al}-\text{OH}$ 键会减少, 但 870 , 725 , 635 cm^{-1} 所对应的键相对量基本不变。

图 2 所示是苛性比 $a_k = 1.55$, Al_2O_3 的含量为 150 g/L 铝酸钠溶液的红外光谱图。其中曲线 I 所

^① 基金项目: 国家重点基础研究发展规划资助项目(G199904690-1)

收稿日期: 2002-03-07; 修订日期: 2002-07-12

作者简介: 王雅静(1963-), 女, 副教授, 博士研究生。

通讯联系人: 王雅静, 沈阳化工学院(新校区)物理化学教研室(110142), 电话: (024) 25718138; E-mail: Wangyajing@163.com.

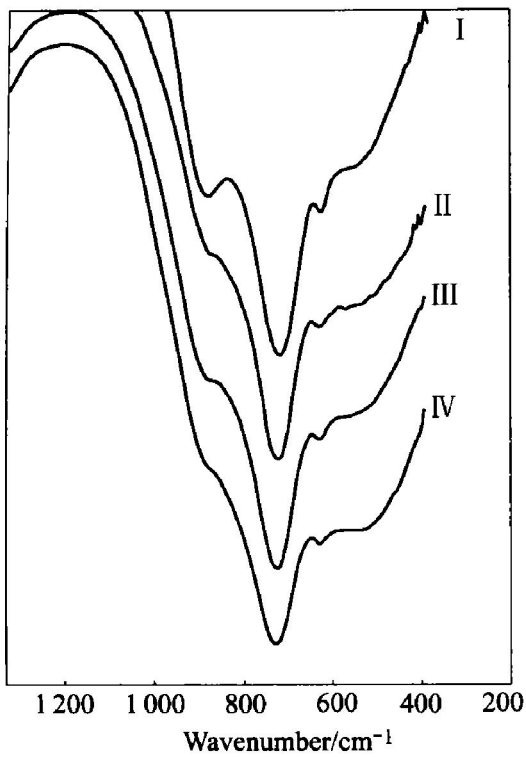


图 1 $a_k = 1.55$, $\rho(\text{Al}_2\text{O}_3) = 100 \text{ g/L}$ 铝酸钠溶液的红外光谱

Fig. 1 Infrared spectra of $a_k = 1.55$, $\rho(\text{Al}_2\text{O}_3) = 100 \text{ g/L}$ sodium aluminate
I— $\rho(\text{SiO}_2) = 0 \text{ g/L}$; II— $\rho(\text{SiO}_2) = 0.96 \text{ g/L}$;
III— $\rho(\text{SiO}_2) = 2.70 \text{ g/L}$; IV— $\rho(\text{SiO}_2) = 3.91 \text{ g/L}$

示为不含 SiO_2 的铝酸钠溶液的红外光谱。曲线 II, III, IV 所示分别是含 SiO_2 为 0.96, 2.70, 3.91 g/L 的铝酸钠溶液的红外光谱。曲线 I 有 4 个明显的峰: 902 cm^{-1} 是 $\text{Al}-\text{OH}$ 的振动带, 728 , 625 cm^{-1} 是 $\text{Al}(\text{OH})_4^-$ 的振动带^[11], 528 cm^{-1} 是 $\text{Al}-\text{O}-\text{Al}$ 振动带。由图可见, 随着 SiO_2 含量的增加, 902 , 728 , 625 cm^{-1} 峰基本不变, 528 cm^{-1} 峰由较宽变至不明显, 再到 543 cm^{-1} 出现新的峰。 528 cm^{-1} 是 $\text{Al}-\text{O}-\text{Al}$ 峰, SiO_2 的加入对此峰有严重影响, 使波长变短。这是由于硅的原子半径比铝的小, 正电荷比铝多, $\text{Al}-\text{O}-\text{Si}$ 键比 $\text{Al}-\text{O}-\text{Al}$ 键短的缘故。随着 SiO_2 的增加 $\text{Al}-\text{O}-\text{Si}$ 键增多, 528 cm^{-1} 被 543 cm^{-1} 峰所取代。

图 3 所示是苛性比为 1.55, Al_2O_3 的含量为 200 g/L 的铝酸钠溶液红外光谱图。曲线 I 所示为不含硅的铝酸钠溶液红外光谱图, 曲线 II、III 所示是二氧化硅含量分别为 1.95, 4.11 g/L 铝酸钠溶液的红外光谱。曲线 I 出现的峰有 902, 715, 635 和 528 cm^{-1} 宽峰, 随着 SiO_2 含量的增加, 715 cm^{-1} 的峰移至 723 cm^{-1} , 528 cm^{-1} 的峰变强并向

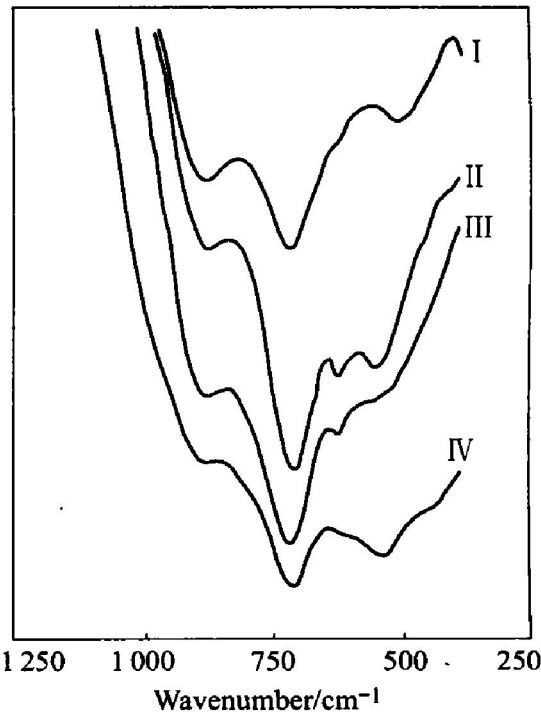


图 2 $a_k = 1.55$, $\rho(\text{Al}_2\text{O}_3) = 150 \text{ g/L}$ 铝酸钠溶液的红外光谱

Fig. 2 Infrared spectra of $a_k = 1.55$, $\rho(\text{Al}_2\text{O}_3) = 150 \text{ g/L}$ sodium aluminate
I— $\rho(\text{SiO}_2) = 0 \text{ g/L}$; II— $\rho(\text{SiO}_2) = 0.96 \text{ g/L}$;
III— $\rho(\text{SiO}_2) = 2.70 \text{ g/L}$; IV— $\rho(\text{SiO}_2) = 3.91 \text{ g/L}$

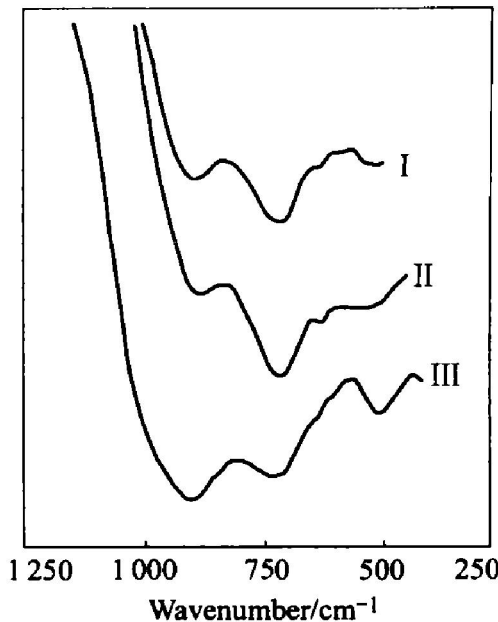


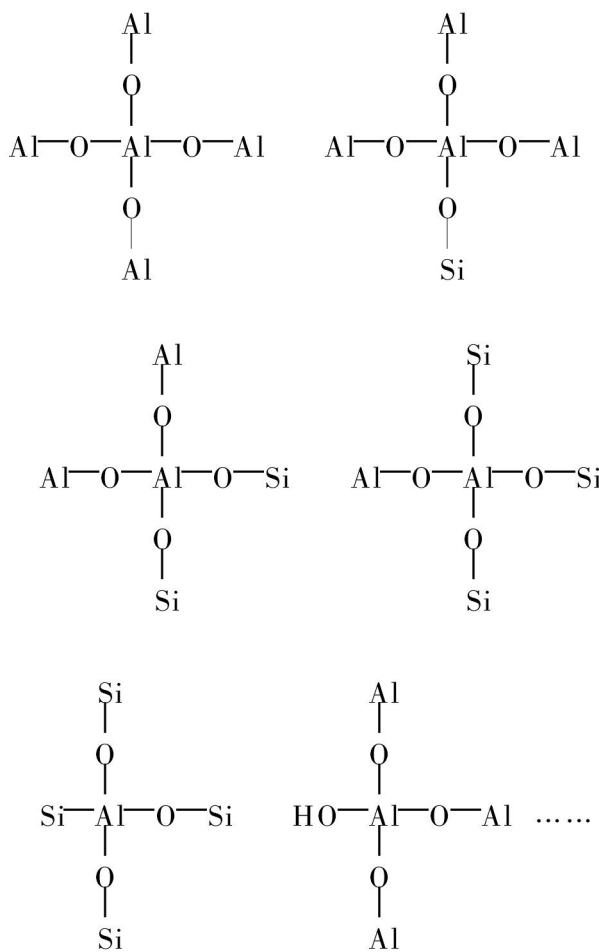
图 3 $a_k = 1.55$, $\rho(\text{Al}_2\text{O}_3) = 200 \text{ g/L}$ 铝酸钠溶液的红外光谱

Fig. 3 Infrared spectra of $a_k = 1.55$, $\rho(\text{Al}_2\text{O}_3) = 200 \text{ g/L}$ sodium aluminate
I— $\rho(\text{SiO}_2) = 0 \text{ g/L}$; II— $\rho(\text{SiO}_2) = 1.95 \text{ g/L}$;
III— $\rho(\text{SiO}_2) = 4.11 \text{ g/L}$

波数大的位置移动, 其原因同对图 2 的峰形变化的

分析。

比较图1, 2和3可见, 随着溶液中 Al_2O_3 的含量的增加, $\text{Al}-\text{OH}$ 弯曲振动、 $\text{Al}-\text{OH}$ 伸缩振动和 $\text{Al}-\text{O}-\text{Al}$ 振动相对于 $\text{Al}-\text{OH}$ 的反对称振动明显加强。这表明随着 Al_2O_3 的含量的增加由 $\text{Al}-\text{O}-\text{Al}$ 形成的网络增加, “分子”变大, 氢键减少, $\text{Al}-\text{OH}$ 反对称振动减弱。随着 SiO_2 含量的增加, $\text{Al}-\text{O}-\text{Si}$ 键增多, $\text{Al}-\text{O}-\text{Al}$ 振动峰向 $\text{Al}-\text{O}-\text{Si}$ 峰转变并增强。虽然 SiO_2 的量相对于 Al_2O_3 的量是少的, 但 $\text{Al}-\text{O}-\text{Si}$ 峰却很明显、很强, 这说明 $\text{Al}-\text{O}-\text{Si}$ 键比 $\text{Al}-\text{O}-\text{Al}$ 键更容易形成。 $\text{Al}-\text{O}-\text{Al}$ 峰随着 SiO_2 的加入而变宽是由于形成 $\text{Al}-\text{O}-\text{Si}$ 键后, 溶液中仍存在 $\text{Al}-\text{O}-\text{Al}$ 键, 且 $\text{Al}-\text{O}-\text{Al}$ 和 $\text{Al}-\text{O}-\text{Si}$ 键有多种形式:



它们的振动能都接近且存在一定的差异, 所以峰被展宽了。

2.2 拉曼光谱

图4, 5和6所示是苛性比 $a_k=1.55$, Al_2O_3 含量为100, 150和200 g/L的铝酸钠溶液拉曼光谱。图4中曲线I和II所示分别为不含 SiO_2 和含 $\text{SiO}_2 2.71 \text{ g/L}$ 铝酸钠溶液的拉曼



图4 $a_k=1.55$, $\rho(\text{Al}_2\text{O}_3)=100 \text{ g/L}$ 的铝酸钠溶液的拉曼光谱

Fig. 4 Raman spectra of $a_k=1.55$, $\rho(\text{Al}_2\text{O}_3)=100 \text{ g/L}$ sodium aluminate solution
I — $\rho(\text{SiO}_2)=0 \text{ g/L}$; II — $\rho(\text{SiO}_2)=2.71 \text{ g/L}$

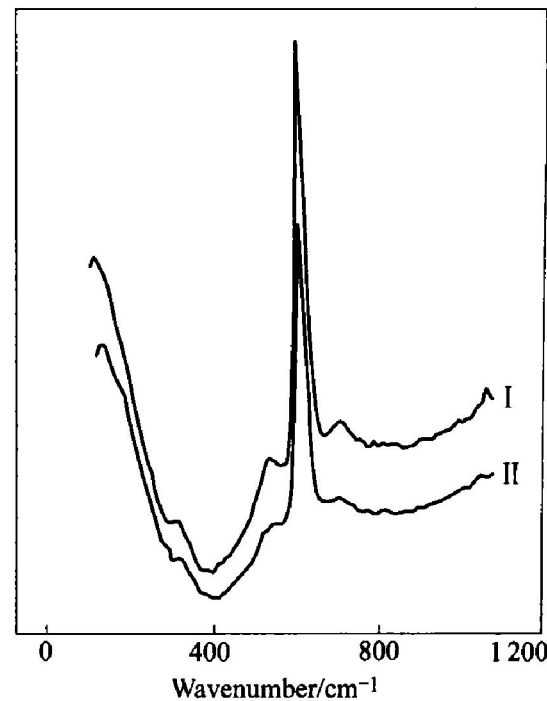


图5 $a_k=1.55$, $\rho(\text{Al}_2\text{O}_3)=150 \text{ g/L}$ 的铝酸钠溶液的拉曼光谱

Fig. 5 Raman spectra of $a_k=1.55$, $\rho(\text{Al}_2\text{O}_3)=150 \text{ g/L}$ sodium aluminate solution
I — $\rho(\text{SiO}_2)=0 \text{ g/L}$; II — $\rho(\text{SiO}_2)=4.80 \text{ g/L}$

光谱。图5中曲线I和II所示分别为不含 SiO_2 和

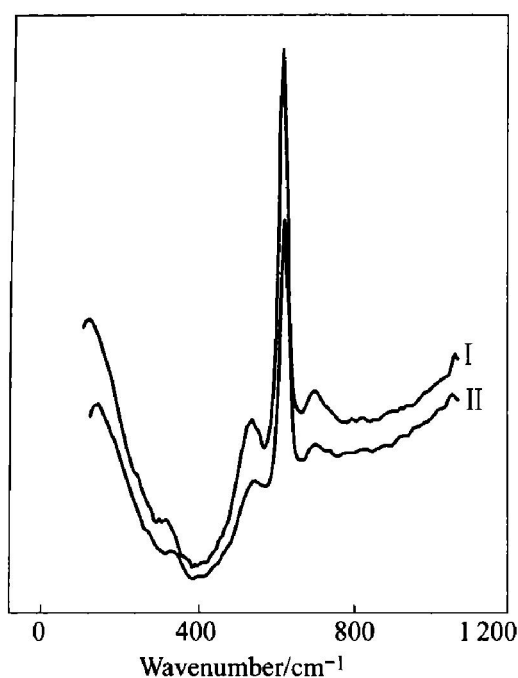


图 6 $a_k=1.55$, $\rho(\text{Al}_2\text{O}_3)=200 \text{ g/L}$ 的铝酸钠溶液的拉曼光谱

Fig. 6 Raman spectra of $a_k=1.55$, $\rho(\text{Al}_2\text{O}_3)=200 \text{ g/L}$ sodium aluminate solution

I — $\rho(\text{SiO}_2)=0 \text{ g/L}$; II — $\rho(\text{SiO}_2)=5.60 \text{ g/L}$

含 $\text{SiO}_2 4.8 \text{ g/L}$ 铝酸钠溶液的拉曼光谱。图 6 中曲线 I 和 II 所示分别为不含 SiO_2 和含 $\text{SiO}_2 5.6 \text{ g/L}$ 铝酸钠溶液的拉曼光谱。

由图 4 可见, 曲线 I 有 $325, 625, 707 \text{ cm}^{-1}$ 3 个峰, 而曲线 II 有 325 和 625 cm^{-1} 峰, 707 cm^{-1} 峰位不能明显看出峰的存在。 325 和 625 cm^{-1} 属于 $\text{Al}(\text{OH})_4^-$ 结构的 $\text{Al}-\text{OH}$ 振动带。 707 cm^{-1} 是 $\text{Al}-\text{O}-\text{Al}$ 振动带^[7], 在 540 cm^{-1} 还应有 $\text{Al}-\text{O}-\text{Al}$ 振动带。由于 Al_2O_3 不够多, $\text{Al}-\text{O}-\text{Al}$ 键较少, 所以 707 cm^{-1} $\text{Al}-\text{O}-\text{Al}$ 的振动带强度小, 540 cm^{-1} $\text{Al}-\text{O}-\text{Al}$ 振动带没显示出来。由于 SiO_2 的加入 $\text{Al}-\text{O}-\text{Al}$ 键转化为 $\text{Al}-\text{O}-\text{Si}$ 键, $\text{Al}-\text{O}-\text{Al}$ 减少, 707 cm^{-1} 也随之消失, 所以曲线 II 没有 707 cm^{-1} 振动带。

由图 5 可见, 曲线 I 有 4 个峰, 分别为 $325, 540, 625$ 和 707 cm^{-1} , 各峰都比图 5 的强度大, 且 540 cm^{-1} 峰也出现了。这是由于 Al_2O_3 的浓度增加所致。曲线 II 的 540 cm^{-1} 和 707 cm^{-1} 峰比曲线 I 弱, 是由于 SiO_2 的加入使得部分 $\text{Al}-\text{O}-\text{Al}$ 键转化为 $\text{Al}-\text{O}-\text{Si}$ 键^[6], 使 $\text{Al}-\text{O}-\text{Al}$ 键减少, 所以 $\text{Al}-\text{O}-\text{Al}$ 峰减弱。而 $\text{Al}-\text{O}-\text{Si}$ 键还没多至显示特征峰的程度。这也与拉曼光谱不如红外光谱敏感有关。

由图 6 可见, 曲线 I 的 4 个峰更强, 而曲线 II 的 $\text{Al}-\text{O}-\text{Al}$ 峰仍比曲线 I 弱, 其理由同对于图 5 的解释。

3 结论

1) $a_k=1.55$, Al_2O_3 的含量为 $100, 150, 200 \text{ g/L}$ 铝酸钠溶液中存在 $\text{Al}-\text{O}-\text{Al}$ 键, 随着 Al_2O_3 含量增加, $\text{Al}-\text{O}-\text{Al}$ 键增多。

2) SiO_2 的存在使得铝酸钠溶液中 $\text{Al}-\text{O}-\text{Al}$ 键转化为 $\text{Al}-\text{O}-\text{Si}$ 键, 随着 SiO_2 含量的增加 $\text{Al}-\text{O}-\text{Si}$ 键增多, 最后 $\text{Al}-\text{O}-\text{Si}$ 的振动峰取代了 $\text{Al}-\text{O}-\text{Al}$ 振动峰。这表明 $\text{Al}-\text{O}-\text{Si}$ 键更容易生成。

3) 含硅的铝酸钠溶液中存在着 $\text{Al}-\text{O}-\text{Al}$ 和 $\text{Al}-\text{O}-\text{Si}$ 以及 $\text{Si}-\text{O}-\text{Si}$ 键连接的网络状大阴离子和 $\text{Al}-\text{O}-\text{H} \cdots \text{Al}$ 氢键结构。并且随着 Al_2O_3 和 SiO_2 的浓度增大网络状阴离子变多、变大。所以铝酸钠溶液(包括含硅铝酸钠溶液)是无机高分子溶液而不是以往认为的过饱和 Al_2O_3 溶液。

REFERENCES

- [1] 杨重愚. 氧化铝生产工艺学 [M]. 北京: 冶金工业出版社, 1993. 249.
YANG Zhong-yu. Technology on Production of Aluminum Oxide [M]. Beijing: Metallurgical Industry Press, 1993. 249.
- [2] 刘桂华, 李小斌. 铝硅在强碱溶液中的结构 [J]. 轻金属, 1998, 6: 13-17.
LIU Guihua, LI Xiao-bin. The structure of the sodium aluminate and silicate in solutions at high pH [J]. Light Metals, 1998, 6: 13-17.
- [3] Sizyakov V M, Volokhov Yu A. Study of structure and properties of aluminosilica component in aluminate liquors [J]. Light Metals, 1983, 223-227.
- [4] 马淑杰, 辛敏谦. 硅酸钠和硅酸铝溶液的研究 [J]. 高等学校化学学报, 1987, 8(2): 109-111.
MA Shu-jie, XIN Min-qian. Study on sodium silicate solution and sodium aluminosilicate solution [J]. Chemical Journal of Chinese Universities, 1987, 8(2): 109-111.
- [5] 李小斌, 周秋生. 高苛性比铝酸钠溶液中硅铝分离的研究 [J]. 矿冶工程, 1998, 18(2): 46-48.
LI Xiao-bin, ZHOU Qiu-sheng. A study on separation of silica and aluminium in highcausticity ratio aluminate solution [J]. Mining and Metallurgical, 1998, 18(2): 46-48.

- [6] Fiedacief W Y. The structure of sodium aluminosilicate solutions at high pH [J]. Metallurgy in Russian, 1988 (8): 53 - 55.
- [7] 柳妙修, 周佩芳, 陈念贻, 等. SiO_2 在铝酸钠溶液中存在状态[J]. 金属学报, 1990, 26(3): 218 - 221.
LIU Miao-xiu, ZHOU Peifang, CHEN Nian-yi, et al. On anionic species of the SiO_2^- -containing sodium aluminate solutions [J]. Acta Metallurgica Sinica, 1990, 26 (3): 218 - 221.
- [8] Moolenaar R J, Evans J C, McKeever L D. The structure of the aluminate ion in solutions at high pH [J]. J phys Chem, 1970, 74: 3629 - 3636.
- [9] Walting H R, Sipos P M. Spectroscopy of concentrated sodium aluminate solution [J]. Applied Spectroscopy, 1998, 52(2): 250 - 258.
- [10] Ray L F, Kloprogge J T. Vibrational spectroscopy and dehydroxylation of aluminum(oxo) hydroxides: Gibbsite [J]. Applied Spectroscopy, 1999, 53(4): 423 - 428.
- [11] 杨金秀, 朱锦民. $\text{LiAl}_2(\text{OH})_7 \cdot 2\text{H}_2\text{O}$ 的红外和拉曼光谱研究[J]. 化学物理学报, 1993, 6(3): 244 - 247.
YANG Jin-xiu, ZHU Jin-ming. Study on infrared and Raman spectra of $\text{LiAl}_2(\text{OH})_7 \cdot 2\text{H}_2\text{O}$ [J]. Chinese Journal of Chemical Physics, 1993, 6(3): 244 - 247.

Infrared and Raman spectra of aluminate and SiO_2^- -containing sodium aluminate solutions

WANG Ya-jing^{1, 2}, ZHAI Yu-chun¹, TIAN Yan-wen¹, HAN Yue-xin¹, LIU Lian-li¹, JI Sheng-li²

(1. School of Material and Metallurgy, Northeast University, Shenyang 110006, China;

2. Department of Applied Chemistry, Shenyang Institute of Chemical Technology,
Shenyang 110142, China)

Abstract: Sodium aluminate and SiO_2^- -containing sodium aluminate solutions were investigated systematically by Raman scattering and infrared adsorption spectrum. The results show the Al—O—Al band existing in solution increases with content of Al_2O_3 ; Al—O—Al band is changed to Al—O—Si band, the more the amount of SiO_2 , the more the Al—O—Si band. It is shown that structure of Al—O—Si band is more stable than structure of Al—O—Al. So sodium aluminosilicate solutions is inorganic network high polymer solution combined by Al—O—Al, Al—O—Si, Al—O—Si and Al—O—H ...O—Al hydrogen bond, not supersaturated Al_2O_3 solution. This is why solution is stable.

Key words: sodium aluminate solution; SiO_2^- -containing sodium aluminate solution; infrared spectrum; Raman spectrum

(编辑 吴家泉)